

Starkniederschlagshöhen und -spenden gemäß KOSTRA-DWD-2010R

Auswertungszeitraum von 1951 - 2010, Januar - Dezember

Rasterfeld: 41018

Zeile: 41

Spalte: 18

Seite: 1/2

| Dauerstufe D | | Wiederkehrzeit T | | | | | | | | | | | | | | | | | |
|--------------|-----|------------------|------------|------|------------|------|------------|------|------------|------|------------|------|------------|------|------------|------|------------|-------|------------|
| | | 1 a | | 2 a | | 3 a | | 5 a | | 10 a | | 20 a | | 30 a | | 50 a | | 100 a | |
| min | Std | mm | l / (s ha) | mm | l / (s ha) | mm | l / (s ha) | mm | l / (s ha) | mm | l / (s ha) | mm | l / (s ha) | mm | l / (s ha) | mm | l / (s ha) | mm | l / (s ha) |
| 5 | | 5,1 | 170,0 | 6,9 | 230,0 | 7,9 | 263,3 | 9,3 | 310,0 | 11,1 | 370,0 | 12,9 | 430,0 | 14,0 | 466,7 | 15,3 | 510,0 | 17,1 | 570,0 |
| 10 | | 8,0 | 133,3 | 10,5 | 175,0 | 11,9 | 198,3 | 13,7 | 228,3 | 16,1 | 268,3 | 18,6 | 310,0 | 20,0 | 333,3 | 21,8 | 363,3 | 24,3 | 405,0 |
| 15 | | 10,0 | 111,1 | 12,9 | 143,3 | 14,6 | 162,2 | 16,7 | 185,6 | 19,6 | 217,8 | 22,6 | 251,1 | 24,3 | 270,0 | 26,4 | 293,3 | 29,3 | 325,6 |
| 20 | | 11,4 | 95,0 | 14,7 | 122,5 | 16,6 | 138,3 | 19,0 | 158,3 | 22,3 | 185,8 | 25,6 | 213,3 | 27,5 | 229,2 | 29,9 | 249,2 | 33,2 | 276,7 |
| 30 | | 13,2 | 73,3 | 17,1 | 95,0 | 19,4 | 107,8 | 22,3 | 123,9 | 26,2 | 145,6 | 30,1 | 167,2 | 32,4 | 180,0 | 35,3 | 196,1 | 39,2 | 217,8 |
| 45 | | 14,8 | 54,8 | 19,5 | 72,2 | 22,2 | 82,2 | 25,6 | 94,8 | 30,3 | 112,2 | 34,9 | 129,3 | 37,6 | 139,3 | 41,1 | 152,2 | 45,7 | 169,3 |
| 60 | | 15,8 | 43,9 | 21,1 | 58,6 | 24,1 | 66,9 | 28,0 | 77,8 | 33,2 | 92,2 | 38,5 | 106,9 | 41,6 | 115,6 | 45,4 | 126,1 | 50,7 | 140,8 |
| 90 | | 17,0 | 31,5 | 22,6 | 41,9 | 25,8 | 47,8 | 29,9 | 55,4 | 35,5 | 65,7 | 41,0 | 75,9 | 44,3 | 82,0 | 48,4 | 89,6 | 53,9 | 99,8 |
| 120 | 2 | 18,0 | 25,0 | 23,8 | 33,1 | 27,1 | 37,6 | 31,4 | 43,6 | 37,1 | 51,5 | 42,9 | 59,6 | 46,3 | 64,3 | 50,5 | 70,1 | 56,3 | 78,2 |
| 180 | 3 | 19,4 | 18,0 | 25,5 | 23,6 | 29,1 | 26,9 | 33,5 | 31,0 | 39,6 | 36,7 | 45,7 | 42,3 | 49,3 | 45,6 | 53,8 | 49,8 | 59,9 | 55,5 |
| 240 | 4 | 20,5 | 14,2 | 26,8 | 18,6 | 30,5 | 21,2 | 35,2 | 24,4 | 41,5 | 28,8 | 47,8 | 33,2 | 51,5 | 35,8 | 56,2 | 39,0 | 62,6 | 43,5 |
| 360 | 6 | 22,1 | 10,2 | 28,8 | 13,3 | 32,7 | 15,1 | 37,6 | 17,4 | 44,3 | 20,5 | 51,0 | 23,6 | 54,9 | 25,4 | 59,8 | 27,7 | 66,5 | 30,8 |
| 540 | 9 | 23,8 | 7,3 | 30,9 | 9,5 | 35,0 | 10,8 | 40,2 | 12,4 | 47,3 | 14,6 | 54,4 | 16,8 | 58,5 | 18,1 | 63,7 | 19,7 | 70,8 | 21,9 |
| 720 | 12 | 25,1 | 5,8 | 32,5 | 7,5 | 36,8 | 8,5 | 42,2 | 9,8 | 49,5 | 11,5 | 56,9 | 13,2 | 61,2 | 14,2 | 66,6 | 15,4 | 73,9 | 17,1 |
| 1080 | 18 | 27,1 | 4,2 | 34,9 | 5,4 | 39,4 | 6,1 | 45,1 | 7,0 | 52,9 | 8,2 | 60,6 | 9,4 | 65,2 | 10,1 | 70,9 | 10,9 | 78,7 | 12,1 |
| 1440 | 24 | 28,6 | 3,3 | 36,7 | 4,2 | 41,4 | 4,8 | 47,3 | 5,5 | 55,4 | 6,4 | 63,5 | 7,3 | 68,2 | 7,9 | 74,1 | 8,6 | 82,2 | 9,5 |
| 2880 | 48 | 37,5 | 2,2 | 46,4 | 2,7 | 51,6 | 3,0 | 58,1 | 3,4 | 67,0 | 3,9 | 75,9 | 4,4 | 81,1 | 4,7 | 87,6 | 5,1 | 96,5 | 5,6 |
| 4320 | 72 | 44,0 | 1,7 | 53,3 | 2,1 | 58,8 | 2,3 | 65,7 | 2,5 | 75,0 | 2,9 | 84,4 | 3,3 | 89,9 | 3,5 | 96,8 | 3,7 | 106,1 | 4,1 |

Angaben in mm: Bemessungsniederschlagswerte h(n)

Angaben in l / (s ha): Regenspende R(n) mit $R(n) = h(n) \times 1,666667 / D[\text{min}]$

Toleranzbereiche:

+/- 10 % für $1 \text{ a} \leq T \leq 5 \text{ a}$

+/- 15 % für $5 \text{ a} < T \leq 50 \text{ a}$

+/- 20 % für $50 \text{ a} < T \leq 100 \text{ a}$

Datenbasis: KOSTRA-DWD-2010R des Deutschen Wetterdienstes. Die Regenspende wurde auf Basis des Bemessungsniederschlags zur jeweiligen Andauer berechnet.

Für die Richtigkeit und Aktualität der Angaben wird keine Gewähr übernommen. Erstellt 07/2022.

Starkniederschlagshöhen und -spenden gemäß KOSTRA-DWD-2010R

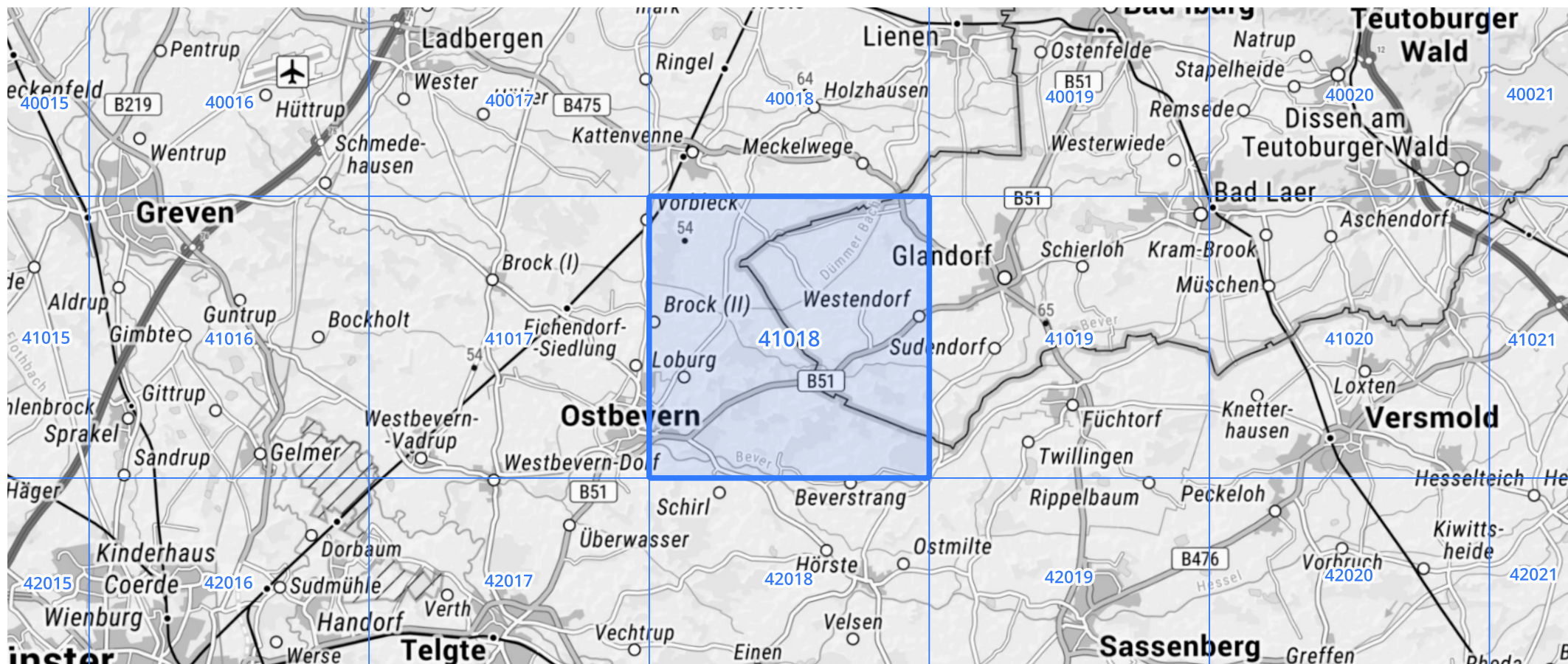
Auswertungszeitraum von 1951 - 2010, Januar - Dezember

Rasterfeld: 41018

Zeile: 41

Spalte: 18

Seite: 2/2



Quelle Rasterdaten: KOSTRA-DWD-2010R des Deutschen Wetterdienstes.

Kartendarstellung: © Bundesamt für Kartographie und Geodäsie (2022), Datenquellen: https://sgx.geodatenzentrum.de/web_public/gdz/datenquellen/Datenquellen_TopPlusOpen.html

Für die Richtigkeit und Aktualität der Angaben wird keine Gewähr übernommen. Erstellt 07/2022.